

• Tornando alla (326), e rispondendo di essere nella situazione 7b della (324), in analogia allo (323) abbiamo

$$\left\{ \begin{aligned} \phi(t, \vec{x}) &= \frac{1}{4\pi\epsilon_0} \int \frac{d^3x'}{|\vec{x} - \vec{x}'|} [S(\vec{x}')] \\ \vec{A}(t, \vec{x}) &= \frac{\mu_0}{4\pi} \int \frac{d^3x'}{|\vec{x} - \vec{x}'|} [\vec{J}(\vec{x}')] \end{aligned} \right. \quad (329)$$

dove abbiamo utilizzato la ~~vector~~ notazione (324), con ad esempio

$$[S(\vec{x}')] = S(t_r, \vec{x}') = S(t - |\vec{x} - \vec{x}'|/c, \vec{x}') \quad (330)$$

• I potenziali espressi come nella (329) sono detti "potenziali ritardati".

• Equazione di continuità e gauge di Lorentz

Le eq. (326) ottenute dai potenziali <sup>per i</sup> sono state ottenute nel gauge di Lorentz. Come già visto, esse sono consistenti se e solo se anche e con comenti soddisfanno l'equazione di continuità

$$\frac{\partial \rho}{\partial t} + \vec{\nabla} \cdot \vec{J} = 0 \quad (331)$$

Deve essere dunque verosimile, se vale l'eq. di continuità (331), i potenziali ritardati (329) soddisfanno il gauge di Lorentz.

$$\frac{1}{c^2} \frac{\partial \phi}{\partial t} + \vec{\nabla} \cdot \vec{A} = 0 \quad (332)$$

Ora lo vogliamo verificare. Dalla (329) abbiamo

77

$$\frac{1}{c^2} \frac{\partial \phi}{\partial t} = \frac{1}{4\pi\epsilon_0 c^2} \int d^3\vec{x}' \frac{1}{|\vec{x}-\vec{x}'|} \frac{\partial}{\partial t} \left( \frac{t - |\vec{x}-\vec{x}'|/c}{t_r}, \vec{x}' \right) =$$

$$= \frac{\mu_0}{4\pi} \int d^3\vec{x}' \frac{\partial}{\partial t_r} \left( \frac{t_r}{|\vec{x}-\vec{x}'|} \right) \quad (333)$$

dove abbiamo usato la relazione (24), ovè  $\epsilon_0 c^2 = \frac{1}{\mu_0}$ .

Abbiamo inoltre

$$\vec{\nabla} \cdot \vec{A} = \frac{\mu_0}{4\pi} \int d^3\vec{x}' \vec{\nabla} \cdot \left( \frac{\vec{j} \left( \frac{t_r}{|\vec{x}-\vec{x}'|}, \vec{x}' \right)}{|\vec{x}-\vec{x}'|} \right)$$

$$= \frac{\mu_0}{4\pi} \int d^3\vec{x}' \left\{ \vec{\nabla} \left( \frac{1}{|\vec{x}-\vec{x}'|} \right) \cdot \vec{j}(t_r, \vec{x}') + \frac{1}{|\vec{x}-\vec{x}'|} \frac{\partial \vec{j}(t_r, \vec{x}')}{\partial t_r} \cdot \vec{\nabla} t_r \right\} \quad (334)$$

possiamo sostituire  
 $\vec{\nabla} \rightarrow -\vec{\nabla}'$

Per cui

$$\vec{\nabla} \cdot \vec{A} = -\frac{\mu_0}{4\pi} \int d^3\vec{x}' \left\{ \vec{\nabla}' \left( \frac{1}{|\vec{x}-\vec{x}'|} \right) \cdot \vec{j}(t_r, \vec{x}') + \frac{1}{|\vec{x}-\vec{x}'|} \frac{\partial \vec{j}(t_r, \vec{x}')}{\partial t_r} \cdot \vec{\nabla}' t_r \right\} \quad (335)$$

Ora possiamo integrare per parti il primo contributo:

$$\vec{\nabla} \cdot \vec{A} = -\frac{\mu_0}{4\pi} \left[ \frac{\vec{j}(t_r, \vec{x}')}{|\vec{x}-\vec{x}'|} \right]_{-\infty}^{\infty} + \frac{\mu_0}{4\pi} \int d^3\vec{x}' \left\{ \frac{1}{|\vec{x}-\vec{x}'|} \vec{\nabla}' \cdot \vec{j}(t_r, \vec{x}') - \frac{1}{|\vec{x}-\vec{x}'|} \frac{\partial \vec{j} \cdot \vec{\nabla}' t_r}{\partial t_r} \right\}$$

le cui parti sono in genere  
negligibili finite, o sono  
a zero all'infinito

(336)

Si come anche  $t_r$  dipende da  $\vec{x}$ , abbiamo

78

$$\vec{\nabla} \cdot \vec{A} = \frac{\mu_0}{4\pi} \int d^3x' \frac{1}{|\vec{x} - \vec{x}'|} \left\{ \frac{\partial j}{\partial t_r} \cdot \vec{\nabla} t_r + \vec{\nabla} \cdot \vec{j} \right\} = \frac{\partial j}{\partial t_r} \cdot \vec{\nabla} t_r + \vec{\nabla} \cdot \vec{j} \quad (337)$$

agente solo sulla 2<sup>a</sup> addendo  
come se  $t_r$  fosse indipendente

per cui infine

$$\vec{\nabla} \cdot \vec{A} = \frac{\mu_0}{4\pi} \int d^3x' \frac{\vec{\nabla} \cdot \vec{j}(t_r, \vec{x}')}{|\vec{x} - \vec{x}'|} \quad (338)$$

Mettendo insieme la (335) e la (338) abbiamo

$$\frac{1}{c^2} \frac{\partial \phi}{\partial t} + \vec{\nabla} \cdot \vec{A} = \frac{\mu_0}{4\pi} \int d^3x' \left[ \frac{\partial \rho}{\partial t_r}(t_r, \vec{x}') + \frac{\vec{\nabla} \cdot \vec{j}(t_r, \vec{x}')}{|\vec{x} - \vec{x}'|} \right] \quad (339)$$

dove  $t_r$  è visto  
come  
indipen-  
dente

ag. di  
continuità

= 0

## Campi elettromagnetici ritardati

Avendo determinato i potenziali (329) possiamo ora derivare i corrispondenti campi dalle relazioni (40):

$$\begin{cases} \vec{B} = \vec{\nabla} \times \vec{A} \\ \vec{E} = -\vec{\nabla} \phi - \frac{\partial \vec{A}}{\partial t} \end{cases} \quad (340)$$

Cominciamo dal campo elettrico. Dalla (329) abbiamo

$$\vec{\nabla} \phi = \frac{1}{4\pi \epsilon_0} \int d^3x' \left\{ \vec{\nabla} \left( \frac{1}{|\vec{x} - \vec{x}'|} \right) \rho(t_r, \vec{x}') + \frac{1}{|\vec{x} - \vec{x}'|} \vec{\nabla} (t_r) \frac{\partial \rho(t_r, \vec{x}')}{\partial t_r} \right\} \quad (341)$$

Usiamo l'eq (26), cui

79

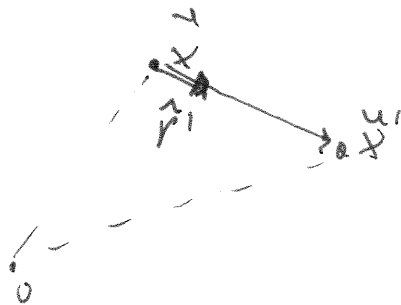
$$\vec{\nabla} \frac{1}{|\vec{x} - \vec{x}'|} = - \frac{\frac{\vec{x} - \vec{x}'}{|\vec{x} - \vec{x}'|^3}} = - \frac{\hat{r}'}{|\vec{x} - \vec{x}'|^2} \quad (242)$$

che deriva e valuteremo usando la (24)

$$\vec{\nabla} \frac{1}{c} = \vec{\nabla} \left( \frac{1}{c} \frac{|\vec{x} - \vec{x}'|}{|\vec{x} - \vec{x}'|} \right) = - \frac{1}{c} \vec{\nabla} |\vec{x} - \vec{x}'| = - \frac{|\vec{x} - \vec{x}'|}{c |\vec{x} - \vec{x}'|^2} = - \frac{1}{c} \hat{r}' \quad (243)$$

dove abbiamo derivato

$$\hat{r}' = \frac{\vec{x} - \vec{x}'}{|\vec{x} - \vec{x}'|}$$



(244)

verso ~~da~~ della congiungente da  $\vec{x}$  a  $\vec{x}'$ .

Usando queste identità nella (34) abbiamo

$$\vec{\nabla} \phi = - \frac{1}{4\pi\epsilon_0} \int d^3x' \left\{ \frac{[\rho(\vec{x}')] }{|\vec{x} - \vec{x}'|^2} + \frac{1}{c} \left[ \frac{\partial \rho}{\partial t} \right] \frac{1}{|\vec{x} - \vec{x}'|} \right\} \hat{r}' \quad (245)$$

Dalla (329) otteniamo anche

$$\frac{\partial \vec{A}}{\partial t} = \frac{\mu_0}{4\pi} \int d^3x' \left[ \frac{\frac{\partial \vec{j}(\vec{x}')}{\partial t}}{|\vec{x} - \vec{x}'|} \right] \quad (246)$$

Dunque (vedi l'eq 340) usando anche la (24):  $\mu_0 = \frac{1}{\epsilon_0 c^2}$

$$\vec{E} = - \vec{\nabla} \phi - \frac{\partial \vec{A}}{\partial t} = - \frac{1}{4\pi\epsilon_0} \int d^3x' \left\{ \frac{[\rho(\vec{x}')] }{|\vec{x} - \vec{x}'|^2} \hat{r}' + \frac{1}{c} \left[ \frac{\partial \rho}{\partial t} \right] \frac{1}{|\vec{x} - \vec{x}'|} \hat{r}' - \left[ \frac{1}{c^2} \frac{\partial \vec{j}}{\partial t} \right] \frac{1}{|\vec{x} - \vec{x}'|} \right\}$$

(247)

• Per calcolare il campo magnetico  $\vec{B} = \vec{\nabla} \times \vec{A}$  teniamo conto delle seguenti proprietà del rotore:

$$i) \quad \vec{\nabla} \times (f \vec{v}) = \vec{\nabla} f \times \vec{v} + f \vec{\nabla} \times \vec{v} \quad (248)$$

$$ii) \quad \vec{\nabla} \times \vec{v}(f(\vec{r})) = - \frac{\partial \vec{v}}{\partial f} \times \vec{\nabla} f = \vec{\nabla} f \times \frac{\partial \vec{v}}{\partial f} \quad (249)$$

check:

$$\begin{aligned} i) \quad [\vec{\nabla} \times (f \vec{v})]_z &= \partial_x (f v^y) - \partial_y (f v^x) = \partial_x f v^y - \partial_y f v^x \\ &\quad + f (\partial_x v^y - \partial_y v^x) \\ &= (\vec{\nabla} f \times \vec{v})_z + f (\vec{\nabla} \times \vec{v})_z \end{aligned}$$

e similmente per le altre componenti

$$\begin{aligned} ii) \quad [\vec{\nabla} \times \vec{v}(f(\vec{r}))]_z &= \partial_x v^y(f) - \partial_y v^x(f) = \\ &= \frac{\partial v^y}{\partial f} \frac{\partial f}{\partial x} - \frac{\partial v^x}{\partial f} \frac{\partial f}{\partial y} = (\vec{\nabla} f)_x \frac{\partial v^y}{\partial f} - (\vec{\nabla} f)_y \frac{\partial v^x}{\partial f} \\ &= \left( \vec{\nabla} f \times \frac{\partial \vec{v}}{\partial f} \right)_z \end{aligned}$$

e similmente per le altre componenti.

• Nella (329) abbiamo ~~espr~~ ~~espr~~

$$\vec{\nabla} \times \vec{A} = \frac{\mu_0}{4\pi} \int d^3x' \vec{\nabla} \times \left( \frac{[\vec{j}(\vec{x}')] }{|\vec{x} - \vec{x}'|} \right) \quad (250)$$

~~Espr~~

Usando la (248) - ~~(249)~~, questo diventa

$$\vec{\nabla} \times \vec{A} = \frac{\mu_0}{4\pi} \int d^3x' \left\{ \vec{\nabla} \left( \frac{1}{|\vec{x} - \vec{x}'|} \right) \times [\vec{J}(\vec{x}')] + \frac{1}{|\vec{x} - \vec{x}'|} \vec{\nabla} \times \vec{J}(t_r, \vec{x}') \right\} \quad (251)$$

Ora usiamo la (242) e ricordiamo che  $t_r = t - \frac{|\vec{x} - \vec{x}'|}{c}$  dipende da  $\vec{x}$ , sicché utilizziamo la (249) e poi la (243):

$$\begin{aligned} \vec{\nabla} \times \vec{A} &= \frac{\mu_0}{4\pi} \int d^3x' \left\{ - \frac{\hat{r}' \times [\vec{J}(\vec{x}')] }{|\vec{x} - \vec{x}'|^2} + \frac{1}{|\vec{x} - \vec{x}'|} \vec{\nabla} t_r \times \left[ \frac{\partial \vec{J}}{\partial t} \right] \right\} \\ &= \frac{\mu_0}{4\pi} \int d^3x' \left\{ - \frac{\hat{r}' \times \vec{\nabla}(\vec{x}')}{|\vec{x} - \vec{x}'|^2} - \frac{\hat{r}'}{c |\vec{x} - \vec{x}'|} \times \left[ \frac{\partial \vec{J}(\vec{x}')}{\partial t} \right] \right\} \quad (252) \end{aligned}$$

In definitiva,

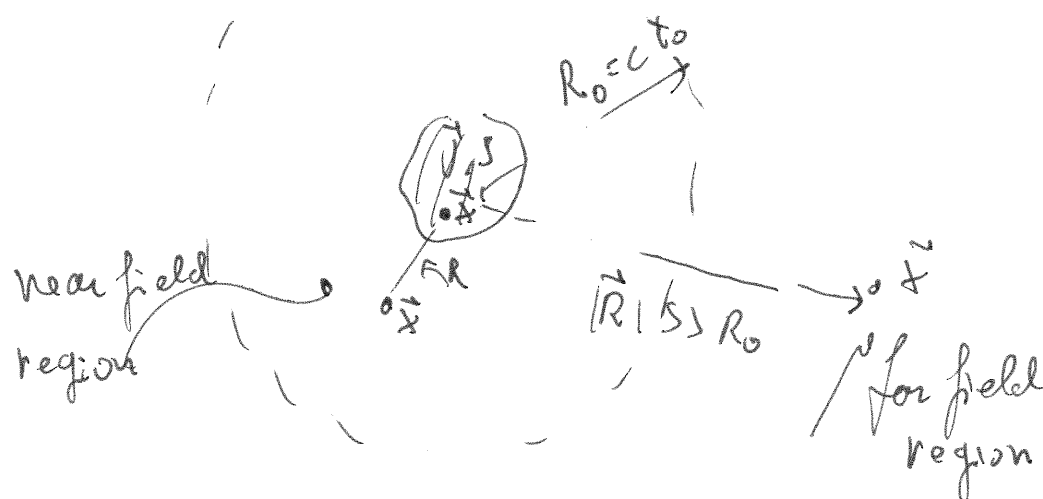
$$\boxed{\vec{B} = \frac{\mu_0}{4\pi} \int d^3x' \left\{ \frac{[\vec{J}(\vec{x}')] \times \hat{r}'}{|\vec{x} - \vec{x}'|^2} + \frac{1}{c} \frac{\partial \vec{J}(\vec{x}')}{\partial t} \times \hat{r}' \right\}} \quad (253)$$

Supporremo  
( $R = |\vec{x} - \vec{x}'|$  come  
in precedente)

• Sviluppi a piccole e grandi distanze

Supponiamo che le cariche e correnti varino (o siano stazionarie) su una scala temporale  $t_0$ .

Per  $R$  su una scala di distanza  $R_0 = c t_0$  abbiamo quindi gli effetti di variazione delle cariche/correnti.



(254)

• Possiamo distinguere due regioni asintotiche, associate a  $R = |\vec{x} - \vec{x}'|$

1) "Near field region":  $|R| \ll R_0$  (255)

In questo caso

$$t_r = t - \frac{R}{c} \Rightarrow \left| \frac{t_r - t}{t_0} \right| = \left| \frac{R}{ct_0} \right| = \left| \frac{R}{R_0} \right| \ll 1 \quad (266)$$

ovvero

$$|t_r - t| \ll t_0 \quad (267)$$

La differenza tra il tempo ritardato e  $t$  è trascurabile rispetto al tempo scelto  $t_0$ . Quindi possiamo espandere rispetto a  $t_r - t$ :

Avremo

$$[S] = f(t_r) = f(t) + (t_r - t) \frac{\partial f}{\partial t} + \frac{1}{2} (t_r - t)^2 \frac{\partial^2 f}{\partial t^2} + \dots \quad (268)$$

(N.B. va intesa la dipendenza da  $\vec{x}'$ )

avè

$$[S] = f - \frac{R}{c} \frac{\partial f}{\partial t} + \frac{1}{2} \left( \frac{R}{c} \right)^2 \frac{\partial^2 f}{\partial t^2} + \dots \quad (269)$$

Similmente,

$$\left[ \frac{\partial \vec{p}}{\partial t} \right] = \frac{\partial \vec{p}}{\partial t} - \frac{R}{c} \frac{\partial^2 \vec{p}}{\partial t^2} + \dots \quad (270)$$

Così pure,

$$[\vec{J}] = \vec{J} - \frac{R}{c} \frac{\partial \vec{J}}{\partial t} + \frac{1}{2} \left( \frac{R}{c} \right)^2 \frac{\partial^2 \vec{J}}{\partial t^2} + \dots$$

$$\left[ \frac{\partial \vec{J}}{\partial t} \right] = \frac{\partial \vec{J}}{\partial t} - \frac{R}{c} \frac{\partial^2 \vec{J}}{\partial t^2} + \dots \quad (271)$$

Sostituendo queste espansioni nella (247) abbiamo

$$\begin{aligned} \vec{E} \sim \frac{1}{4\pi\epsilon_0} \int d^3x' \left\{ \left( \vec{p} - \frac{R}{c} \frac{\partial \vec{p}}{\partial t} + \frac{1}{2} \left( \frac{R}{c} \right)^2 \frac{\partial^2 \vec{p}}{\partial t^2} + \dots \right) \frac{\hat{r}'}{R^2} + \right. \\ \left. + \frac{1}{c} \left( \frac{\partial \vec{p}}{\partial t} - \frac{R}{c} \frac{\partial^2 \vec{p}}{\partial t^2} + \dots \right) \frac{\hat{r}'}{R} - \frac{1}{c^2} \left( \frac{\partial \vec{J}}{\partial t} - \frac{R}{c} \frac{\partial^2 \vec{J}}{\partial t^2} + \dots \right) \frac{1}{R} \right\} \end{aligned} \quad (272)$$

cioè

$$\vec{E} \sim \frac{1}{4\pi\epsilon_0} \int d^3x' \left\{ \frac{\vec{p}(\vec{x}')}{R^2} \hat{r}' - \frac{1}{c^2} \frac{\partial^2 \vec{J}(\vec{x}')}{\partial t^2} \cdot \frac{1}{R} - \frac{1}{2c^2} \frac{\partial^2 \vec{p}}{\partial t^2} + \frac{1}{c^3} \frac{\partial^2 \vec{J}}{\partial t^2} + \dots \right\} \quad (273)$$

near-field expansion

Campo Coulombiano

Induzione di Faraday

le prime correzioni dovute all'effetto del tempo ritardato a vengono al 2° ordine nelle derivate

Per quanto riguarda il campo magnetico abbiamo, dalla 253,



$$\vec{B} \approx \frac{\mu_0}{4\pi} \int d^3x' \left\{ \left( \vec{J} - \frac{R}{c} \frac{\partial \vec{J}}{\partial t} + \frac{1}{2} \left( \frac{R}{c} \right)^2 \frac{\partial^2 \vec{J}}{\partial t^2} + \dots \right) \times \frac{\vec{r}'}{R^2} + \frac{1}{c} \left( \frac{\partial \vec{J}}{\partial t} - \frac{R}{c} \frac{\partial^2 \vec{J}}{\partial t^2} + \dots \right) \times \frac{\vec{r}'}{R} \right\}$$

84

$$\vec{B} \approx \frac{\mu_0}{4\pi} \int d^3x' \left\{ \frac{\vec{J} \times \vec{r}'}{R^2} - \frac{1}{2c^2} \frac{\partial^2 \vec{J}}{\partial t^2} \times \vec{r}' + \dots \right\} \quad (274)$$

Biot-Savart

prima correzione  
dovuta al ritardo temporale

2) Far field region,  $[R \gg R_0]$

(275)

In questa regione domina il termine  $\frac{1}{R}$  rispetto a quello  $\propto \frac{1}{R^2}$

Le espressioni per i campi e.m. in questa regione si possono semplificare utilizzando la condizione di gauge di Lorenz, che abbiamo già confermato essere soddisf. dai potenziali ritardati, vedi la 339, in tutto lo spazio. Ricordando la espressione dei potenziali (329) abbiamo (vedi la (333) e la (335))

$$\frac{1}{c^2} \frac{\partial \phi}{\partial t} = \frac{1}{4\pi\epsilon_0 c^2} \int d^3x' \left[ \frac{\partial \rho}{\partial t} \right] \frac{1}{R} \quad (276)$$

$$\vec{\nabla} \cdot \vec{A} = \frac{1}{4\pi\epsilon_0 c^2} \int d^3x' \left\{ \vec{\nabla} \left( \frac{1}{R} \right) \cdot [\vec{J}] + \frac{1}{R} \left[ \frac{\partial \vec{J}}{\partial t} \right] \cdot \vec{\nabla} t \right\} \quad (277)$$

Usando la (242) - (243),

$$\vec{\nabla} \cdot \vec{A} = \frac{1}{4\pi\epsilon_0 c^2} \int d^3x' \left\{ -\frac{1}{R^2} \vec{r}' \cdot [\vec{j}] - \frac{1}{cR} \left[ \frac{\partial j}{\partial t} \right] \cdot \vec{r}' \right\} \quad (278)$$

questo è solo dominante nella far field region.

Nella far field region, dunque, il gauge di Lorenz impone  $\frac{1}{c^2} \frac{\partial \phi}{\partial t} + \vec{\nabla} \cdot \vec{A} = 0$

$$0 = \frac{1}{4\pi\epsilon_0 c^2} \int d^3x' \left\{ \left[ \frac{\partial j}{\partial t} \right] - \frac{1}{c} \left[ \frac{\partial j}{\partial t} \right] \cdot \vec{r}' \right\} \cdot \frac{1}{R} \quad (279)$$

Ora,  $\left[ \frac{\partial j}{\partial t} \right] \cdot \vec{r}' = \left[ \frac{\partial j}{\partial t} \right]_{||}$ , componente parallela alla componente  $\vec{x}' \rightarrow \vec{x}$  (280)

dunque la (279) si dice che, nella far field region,

$$\left[ \frac{\partial j}{\partial t} \right] = \frac{1}{c} \left[ \frac{\partial j}{\partial t} \right]_{||} \quad (281)$$

Consideriamo ~~l'equazione~~ ora il campo elettrico. Dalla (247), trascurando il termine  $\propto 1/R^2$ ,

$$\vec{E} = \frac{1}{4\pi\epsilon_0} \int d^3x' \left\{ \frac{1}{R} \left[ \frac{\partial j}{\partial t} \right] \vec{r}' - \frac{1}{c^2} \left[ \frac{\partial j}{\partial t} \right] + \dots \right\} \quad (282)$$

Utilizzando la (281) quindi

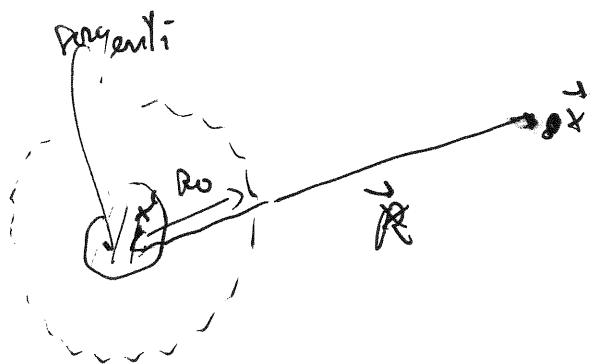
$$\vec{E} = \frac{1}{4\pi\epsilon_0} \int d^3x' \frac{1}{c^2 R} \left[ \frac{\partial j}{\partial t} \right]_{||} \vec{r}' - \left[ \frac{\partial j}{\partial t} \right] + \dots \quad (283)$$

Ora,  $\left[ \frac{\partial \vec{j}}{\partial t} \right]_{\parallel} \hat{r}' - \left[ \frac{\partial \vec{j}}{\partial t} \right] = - \left[ \frac{\partial \vec{j}}{\partial t} \right]_{\perp}$  (284)

$\nwarrow$  componente parallela  
 $\uparrow$  vettore completo  
 $\uparrow$  componente trasversa (perpendicolare al vettore  $\hat{r}'$ )

Donque  $\vec{E} \sim - \frac{1}{4\pi\epsilon_0 c^2} \int d^3x' \left[ \frac{\partial \vec{j}}{\partial t} \right]_{\perp} + \dots$  Far field (285)

Inoltre, se le sorgenti sono localizzate, come abbiamo supposto, otteniamo nello far field region



$$R = |\vec{x} - \vec{x}'| \sim |\vec{x}| = r$$

(286)

$$t_r = t - \frac{R}{c} \sim t - \frac{r}{c}$$

per la regione  
 dipende dalla  
 funzione  
 in cui si  
 sostituisce

così possiamo scrivere

$$\vec{E} \sim - \frac{1}{4\pi\epsilon_0 c^2} \frac{1}{r} \int d^3x' \left[ \frac{\partial \vec{j}}{\partial t} \right]_{\perp} + \dots$$
 (287)



Per il campo magnetico, nella (253) prevale il termine  $\propto \frac{1}{R}$ ;

$$\vec{B} = \frac{1}{4\pi\epsilon_0 c^2} \int d^3x' \underbrace{\left[ \frac{1}{c} \frac{\partial \vec{J}}{\partial t} \right]}_R \times \vec{r}' + \dots \quad (288)$$

$\uparrow$  contenuto la derivata  $\perp$  ad  $\vec{r}'$   
per il prodotto esterno

$\mu_0 = \frac{1}{\epsilon_0 c^2}$

$$\Rightarrow \left| \vec{B} \sim \frac{1}{4\pi\epsilon_0 c^2} \int d^3x' \frac{1}{R} \left[ \frac{1}{c} \frac{\partial \vec{J}}{\partial t} \right]_{\perp} \times \vec{r}' \right| \quad \text{for field expansion} \quad (289)$$

Per sorgenti localizzate attorno all'origine, come nella (286), abbiamo

$$\left| \vec{B} \sim \frac{1}{4\pi\epsilon_0 c^3} \frac{1}{r} \left( \int d^3x' \left[ \frac{\partial \vec{J}}{\partial t} \right]_{\perp} \right) \times \hat{r} + \dots \right| \quad (290)$$

Confrontando la (287) e la (290) vediamo che campi localizzati e nello far field regime si ha

$$\left| \begin{aligned} &\vec{E} \perp \hat{r}, \quad \vec{B} \perp \hat{r} \quad (\text{entrambi trasversali}) \\ &\vec{E} \cdot \vec{B} = 0 \quad (\text{ortogonalit\`a ad } \hat{r}) \end{aligned} \right| \quad (291)$$

$$(|\vec{B}| = \frac{1}{c} |\vec{E}|) \quad \text{Inoltre} \quad |\vec{E}| \sim |\vec{B}| \sim \frac{1}{r}$$

Questi ~~campi~~ <sup>campi</sup> hanno le caratteristiche di un'onda e.m. che si propaga radialmente allontanandosi dalle sorgenti ~~localizzate~~ <sup>localizzate</sup>.

L'onda \u00e8 modulata/generata da una densit\u00e0 oscillante  $\vec{J}$  che varia nel tempo.